

한반도 중부권 지각물질의 구조와 물성연구(2) : 퇴적암류 코아시료의 탄성파 속도와 점재하 강도 비교

Structure and physical properties of Earth Crust material in the Middle of Korean Peninsula(2) : Comparison between elastic Velocity and point-load of core specimen of sedimentary rocks.

송무영(Song, Moo Young)
황인선(Hwang, In Seon)

충남대 지질학과
충남대 지질학과

요약/Abstract

석회암, 사암과 세일의 퇴적암 코아시료를 대상으로 암석의 비중, 공극률, 함수율 등을 구하고 탄성파 전파 속도와 점재하 강도 지수를 측정하였다.

이들 암석물성 사이의 관계로부터 석회암에 대한 밀도와 탄성파 속도의 관계는 $V_p = 4085d^2 - 20747d + 303$, $V_s = 3899d^2 - 21442d + 318$ 의 다소 곡선 경향을 나타낸다. 또한 밀도가 높은 세일의 탄성파 속도가 사암에서보다 작으며 이는 세일의 층리 영향때문인 것으로 보인다. 석회암, 사암, 세일의 P파 속도와 S파 속도는 대체로 직선 양상을 보여주며 각 관계식은 석회암에서는 $V_s = 0.26V_p + 1041.6m/sec$, 사암은 $V_s = 0.43V_p + 424.2m/sec$, 세일은 $V_s = 0.51V_p + 261.9m/sec$ 이며 상관도는 석회암에서는 $r = 0.75$ 사암에서 $r = 0.88$, 세일에서는 $r = 0.86$ 으로 나타났다.

석회암에 대한 점재하 강도 시험에 의하면 점재하 강도 이방성은 시료가 다소 호상구조를 보이더라도 뚜렷하지 않았다. $30^\circ - 60^\circ$ 내외의 변화를 보이는 층리면 경사각은 직경방향과 축방향의 점재하 지수에 큰 영향을 미치지 않은 것으로 생각된다. 점재하 강도 시험결과 점재하강도 지수가 증가하면 P파 속도도 증가하지만 상관관계가 뚜렷하지 않았다.

In order to investigate the correlation of sedimentary rock properties, specific gravity, porosity, water content, sonic wave velocity, and point-load strength index of core samples

of limestones, sandstones and shales were measured.

The relationships between density and velocity show $V_p = 16300d - 38719.3$, $V_s = 11896.4$ $d - 29225.1$ of regression equation for sandstones and $V_p = 4856d - 10264.8$, $V_s = 3519d - 7841.3$ for shales and $V_p = 4085d^2 - 20747d + 303$, $V_s = 3899d^2 - 21442d + 318$ for limestones. Seismic wave velocity of shales which have high density is lower than that of sandstones, and this seems to be an effect of bedding in shale.

P-wave velocity and S-wave velocity of limestones, sandstones and shales show the linear relationships as a whole. The regression equations are respectively calculated $V_s = 0.26V_p + 1041.6$ m/sec, $V_s = 0.43V_p + 424.2$ m/sec, and $V_s = 0.51V_p + 261.9$ m/sec and the correlation coefficients of the velocity show $r = 0.88$ in sandstones, $r = 0.75$ in limestones and $r = 0.86$ in shales.

According to the point-load strength test for limestones, point-lord strength anisotropy was not so clear even though the specimens show generally the banded structure. Variations of dip angle of bedding whihin the range $30^\circ - 60^\circ$ does not have much influence upon the diametral strength index and axial strength index.

From the result of point load test, P-wave velocity increases with point-lord strength index but the regression equations are $V_p = 98.51Is_d + 4082.1$ m/sec, $V_p = 106.4Is_a + 3954$ m/sec and their correlation coefficient is low.

序 言

탄성파 반응에 의한 지구내부 물질과 구조의 추정결과는 19C말 경부터 알려지기 시작하여 지구내부 파악의 가장 중요한 수단이 되었으며 소규모적인 물성차이나 구조적 특성을 파악하기 위하여 이미 각종 조건을 알고 있는 표품에 대하여 탄성파 반응이 실험 연구되어 왔다.

탄성파 반응은 속도, 감쇄, 과형, 위상 등 여러 형태로 측정할 수 있으나 그 측정의 용이성, 정밀성, 지속성 등의 면에서 탄성파 특히 P파와 S파의 속도가 가장 큰 관심의 대상이 되어왔다. 이는 다양한 성분과 구조의 매질을 대상으로 야외 탐사 측정에서도 가

능한 항목이므로 이를 실험실의 시료에 대한 탄성파속도와 함께 비교함으로서 지하구조와 물성파악에 그만큼 용이하기 때문이기도 하다.

통상 지하의 물질은 암석 혹은 암석의 변형된 형태로 간주할 수 있으며 야외 탄성파 속도는 암석에 대한 탄성파 반응으로부터 출발하게 된다. 암석의 탄성파 속도에 영향을 미치는 요소로서는 암석종류, 조직, 밀도, 공극률, 압력, 합수율, 온도 등을 고려할 수 있으며(Lama & Vutakuri ; 1978) 이를 각 요소들의 변화가 탄성파 속도에 각각 어떻게 영향을 미치는가가 암석표품에 대한 탄성파속도 연구의 요점이 된다.

과거의 많은 연구 결과들 중에서 특히 주

목할 만한 것은 암석의 불연속면 거동(Hoek et al, 1965), 균질 암석의 탄성파 전파 특성(King, 1966), 암석 물성에 의한 탄성파 속도 영향(齊藤德美, 阿部司, 1974), 이방성 응력 하의 P파속도(谷口敬一郎, 1989), 압축강도에 의한 암반분류(ISRM, 1985)등이 있으며 국내에서도 함수비 등에 따른 탄성파 속도(신희순외, 1986), 풍화에 따른 화강암의 물성변화(김영화 외, 1990), 화강암의 탄성파속도 변화(류미애, 1991) 등이 알려져 있다.

본 논문에서는 다소 이방성을 갖는 석회암과 사암, 세일의 퇴적암류를 대상으로 실내에서 암석의 기본 물성중에서 공극률, 함수율, 밀도 등을 구하였으며 탄성파 속도를 측정하고 점재하 시험에 의한 강도 시험을 통해 이를 물성치간의 상호관계를 살펴보았다.

이 연구는 일부 교육부 특성화의 지원을 받아 이루어졌으므로(송무영 외, 1992) 교육부 당국에 사의를 표한다. 아울러 표품준비를 도와주신 한남지질 하성호과장, 태광지질의 남원희고문, 야외 조사에 참여했던 충남대 대학원생과 학부생들, 실내 측정에 참여한 정진숙, 신영준양에게 깊은 감사를 드린다.

岩石試料

이 연구에 이용된 암석 시료는 경부고속 천철 제10공구인 대구지역의 18km 구간에 걸쳐 수행된 대부분 종료심도가 30-50m인 시추공에서 사암 7개와 세일 11개로 18개의 퇴적암을 채취한 것이다. 이 지역은 지질학적으로 중생대 쥬라기 대보 조산운동 이후 백악기에 걸쳐 현재 경상남북도 일대의 경상누층군에 포함되어 형성된 육성 퇴적분지로

보고된 바 있으며 주로 역암, 사암, 이암 등의 쇄설성 퇴적암류로 구성되어 있다. 대구 지역의 경상누층군의 지질계통을 살펴보면 하부에는 초기 백악기의 신동층군으로 사암, 세일, 역암, 이암 등으로 이루어져 있으며 그 위의 초기 백악기 말의 하양층군은 주로 세일, 사암과 소량의 역암으로 되어 있다. 그리고 그 상부에 화산암으로 구성된 유천층군으로 구성되어 있다(장기홍, 1990).

다른 암석시료로는 충남 금산군 진산면 읍내리에서 온천개발을 위한 종료심도가 500m인 시추공에서 38개의 석회암과 5개의 화강암을 채취, 총 61개를 준비하였다. 1978년도 한국지질도 금산도쪽에 따르면 선캠브리아기의 편마암류와 시대 미상의 옥천층군, 이를 관입한 쥬라기 화강암과 백악기의 퇴적암류, 화성암류 그리고 이를 부정합으로 회복한 제4기 충적층으로 구성되어 있다. 본 실험시료는 옥천층군 마전리층의 석회 규산염암과 석회암으로 구성되어 있으며 암녹색, 암회색과 백색부분이 경사각 $30^{\circ} - 50^{\circ}$ 의 호상구조를 보이며 대부분 결정질이다.

코아 상태의 표품을 다이아몬드 톱으로 양단면을 장축에 수직으로 절단하였으며 양단면에서 측정단자의 접촉상태를 높이고 측정오차를 줄이기 위하여 100, 600, 1000, 1200 mesh의 Carborundum 분말로 연마하여 시료단면의 수평정도를 $\pm 0.02\text{mm}$ 로 유지하였다.

점재하 시험을 위해서는 탄성파 속도를 측정한 시료중에서 석회암 시료 25개를 선택하여 일차적으로 직경방향의 점재하 시험을 하였으며 양분된 시료를 다시 직경 높이의 비를 대개 1:0.5의 원주형으로 절단하여 축방향의 점재하강도지수를 구하였다.

현미경 관찰 결과 전체 시료는 암상에 따라

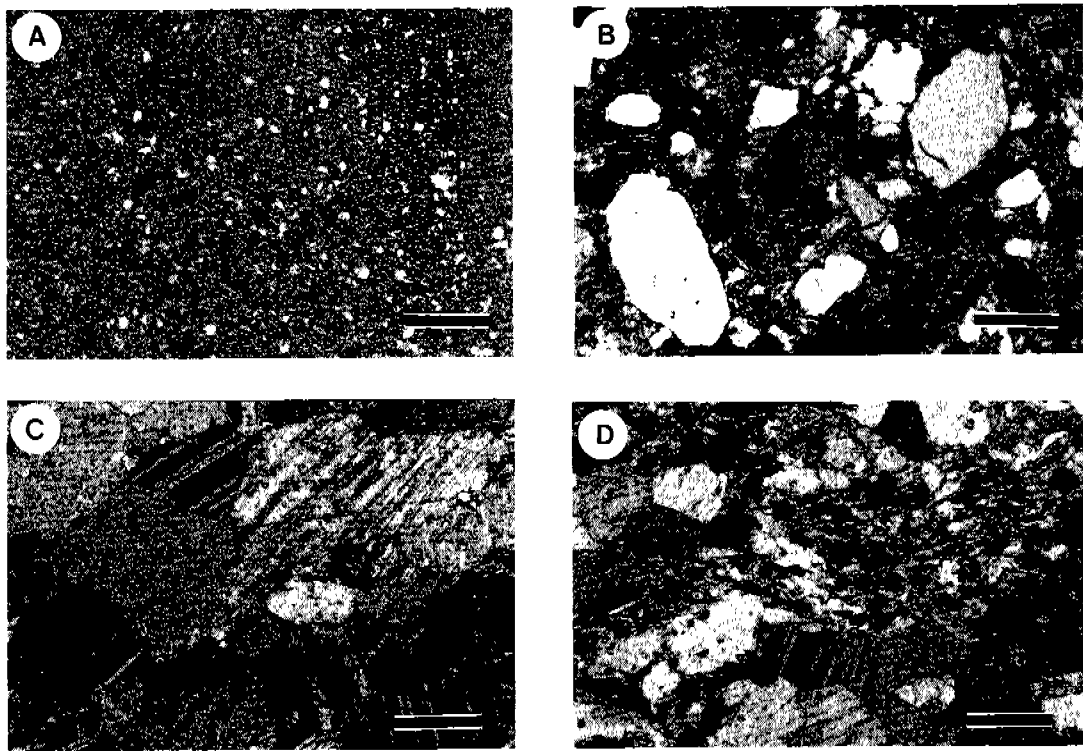


Fig. 1 Microphotographs of specimens (scalebar is 400microns).
(A)Shale, (B)Sandstone, (C) and (D) are limestones.

4개로 구분되었다. 배율은 400microns로 하였으며 표본의 대표적인 박편 사진은 Fig. 1에 나열하였다. 이들은 실트 크기의 석영입자가 들어있는 흑색세일(A), 석영, 사장석, 쳐어트를 함유하는 적색사암(B), 방해석 결정으로 구성된 조립질 석회암(C), 및 약간 변질받은 호상구조의 석회암(D)등이다.

研究方法

암석의 물리적 성질 중 기본 물성으로서 밀도(비중), 합수율, 공극률 등을 구하고 탄성파 P파 속도 및 S파 속도를 측정하였으며

역학적 성질로서 점재하 실험에 의한 강도 지수를 구하였다.

기본 물성(Index properties)측정

기본 물성의 측정은 ISRM(1979)의 표준 시험법에 따랐다. 암석 각 시료의 크기를 Caliper로 0.05mm까지 측정하였으며 시료의 중량은 0.01g까지 측정 가능한 디지털식 천평(Electric balance, Sartorius CO., Type L2200p, Germany)을 사용하여 측정하였다. 또한 건조와 습윤 등의 상태에 따른 중량을 구하기 위해 $105^{\circ}\text{C} \pm 5^{\circ}\text{C}$ 를 유지할 수 있는 건조기(Dry

oven)를 이용하였다.

기본 물성을 구하기 위한 기본적인 방법으로 각 상태의 중량을 구하였다.

① 자연상태의 중량(W_1)

② 건조상태의 중량(W_2)

③ 포화상태의 중량(W_3)

④ 시료의 수중중량(W_4)

함수율은 위와 같은 상태에서 측정된 중량치로서 다음과 같은 식에 의해 구해진다.

$$W(\%) = \frac{W_w}{W_s} \times 100 = \frac{W_1 - W_2}{W_2} \times 100$$

W_w : Mass of pore water

W_s : Grain mass of sample

W_1 : Mass of natural sample

W_2 : Mass of dried-sample in dry oven
during 24 hours

밀도 시험은 시료의 질량과 체적의 측정이 기본이며 자연상태, 건조상태 및 습윤상태 세 가지의 상태에 따라 질량을 측정하여 다음과 같은 방법으로 구하였다.

$$\text{Dry density}(\rho_d) = \frac{W_s}{V} = \frac{W_2}{V}$$

$$\text{Saturated density}(\rho_s) = \frac{W_{sat}}{V} = \frac{W_3}{V}$$

$$\text{Bulk density}(\rho) = \frac{W_s + W_w}{V} = \frac{W_1}{V}$$

W_{sat} : Saturated-surface-dry mass of sample

W_2 : Mass of water

W_3 : Mass of sample in saturated state

시료 내부의 공극에는 공기나 물이 통하지

않는 부분이 있기 때문에 시험상 모든 공극의 체적을 파악하기 어려우므로 외부와 통하고 있는 공극만을 생각하고 이것을 유효공극률이라고 구별하여 구한다. 이하 본 연구에서의 공극률은 유효공극률을 의미한다. 일반적으로 공극률은 다음과 같은 식으로 구해진다.

$$n(\%) = \frac{V_v}{V} \times 100 = \frac{W_3 - W_2}{W_3 - W_4} \times 100$$

V : Bulk sample volume

V_v : pores volume

W_4 : Mass of sample submerged in water

탄성파 전파속도 시험

암석의 탄성파 전파속도는 암석의 탄성계수, 강성률, 포화송비 및 밀도에 크게 의존을 하고 있으므로, 속도로부터 암석의 물성을 알고 암석의 역학적 특성을 비교할 수 있다.

초음파 속도 시험은 암석의 물리적 특성을 파악하기 위하여 초음파를 이용하여 탄성파 속도를 측정하는 방법이다. 속도 측정 방법은 초음파 펄스가 암석 시료를 전파하는 속도를 직접 측정하는 투파법과 경계면에서의 반사펄스를 이용하는 반사법, 그리고 종진동이나 횡진동 등의 공진 주파수를 구하는 것을 기본으로 한 공진법이 있다. 일반적으로 세 가지 방법중에서 투파법이 흔히 사용되고 있고 그 원리는 펄스가 시료의 양쪽에 부착되어 있는 수진자와 발진자 사이를 통과한 시간을 측정하는 것이다. 즉 암석 시료 길이(Transducer 사이의 거리)를 측정된 투파시간으로 나누면 속도가 산출되며 이것은 암석 시료 매질의 물성에 대한 추측을 가능하게 한다. 또한 이 방법에서 파동의 감쇄정도가 물성, 불균질성,

유체 등의 전달 매질의 특성을 반영한다.
본 연구에서도 암석 시료에 대해 투과법을

이용하여 탄성파의 P파 속도와 S파 속도를 측정하였다. 측정기기는 Ultrasonic pulse velocity meter, transducer, oscilloscope 등 크게 세가지 부분으로 구성되어 있으며 기본구성 원리는 Fig. 2와 같다. 측정기기에 대한 규격은 Table 1과 같다.

측정한 탄성파 속도와 이들의 측정치를 조합하면 각종 탄성률 즉, 영률, 강성률, 포와송비 등의 산출이 가능하며 이러한 음파 속도 측정으로부터 구해지는 탄성률을 동적 탄성률이라고 한다. 이들 탄성률을 음파속도로부터 구하기 위해서는 다음의 관계식을 이용한다.

$$E = \frac{\rho V_s^2 (3V_p^2 - 4V_s^2)}{V_p^2 - V_s^2}$$

Fig. 2 Diagram of Typical apparatus of ultrasonic velocity measuring. Components shown by dashed lines are option.

Table 1 Specification of Ultrasonic pulse velocity measuring device.

► Ultrasonic pulse velocity meter
Size(cm) : 23.5×20×5
Weight(kg) : about 2
Output voltage : 800V
Repetition rate : 1-250 pulse/sec
Power requirement : 12V
► Oscilloscope
Model : 3channel 8trace Oscilloscope 5506(Hung Chang)
Frequency range : 60khz
Power requirement : AC 100V, 50-60khz
► Transducers
Model : Sonicviewer Optional Accessories(OYO Co.)
P-Wave transducer, 5211
S-Wave Transducer, 5212
Resonance Frequency
P-Wave transducer, 63khz
S-Wave Transducer, 33khz

Table 2 Physical properties and dynamic elastic constants of rock samples. (Mean values)

Sample name	Jinsan Granite	Jinsan Limestone	Taegu Sandstone	Taegu Shale
No. of Specimens	5	33	5	9
Density Lab (g/cm ³)	2.628	2.839	2.689	2.720
Porosity (%)	0.734	0.367	0.554	1.009
Water cont. (%)	0.229	0.071	0.137	0.408
P-wave velocity (m/sec)	4064	4682	5230	2982
S-wave velocity (m/sec)	2041	2228	2719	1710
V_p/V_s	1.98	1.90	1.88	1.68
Young's modulus ($\times 10^9$ kg/cm ²)	2.936	3.768	5.256	1.985
Shear modulus ($\times 10^9$ kg/cm ²)	1.119	1.429	2.004	0.811
Bulk modulus ($\times 10^9$ kg/cm ²)	2.885	3.888	4.330	1.325
Poisson's ratio	0.331	0.320	0.303	0.209

$$\nu = \frac{V_p^2 - 2V_s^2}{2(V_p^2 - V_s^2)}$$

$$G = \rho V_s^2$$

$$K = \rho(V_p^2 - 4V_s^2/3)$$

E = Young's modulus

ρ = Density

ν = Poisson's ratio

V_p = P-wave velocity

G = Shear modulus

V_s = S-wave velocity

K = Bulk modulus

점재하 시험(Point-load test)

암석의 기본물성 중에서 강도는 암석의 역학적 특성의 중요한 요소이다. 본 시험에서는 암석의 강도 분류를 위해 현장에서 신속하게 이용할 수 있는 점재하 시험법(point-load strength test method)을 채택하였다. 이 시험은 재하점 사이를 직경으로 하는 구의 응력 상태로 인장 파괴면이 생성되기 때문에 일축 압축강도의 예측도 가능하게 한다 (ISRM, 1985).

점재하 시험을 위한 시료 성형은 코아의 직경(d)과 길이(W)의 비를 가능한 한 일정하게 유지하였으며 종전의 압축강도 변화와 시험기술에 따라 상당한 분산을 나타내는 결점을 보완하고 신뢰성 있는 측정을 위한

본 실험 암석시료의 탄성파 속도와 그로부터 산출된 각 탄성을 Table 2에 요약되어 있다.

시험방법에 의하였다(ISRM, 1985). 점재하 시험에 의한 강도는 재하 방향에서 압축 응력에 수반하여 발생하므로 시료의 중앙에서 발생하는 최대 인장응력이 재하중(P)과 재하점 사이의 거리(d)에 따라 변한다. 강도는 가압점 사이의 거리 제곱(d^2)에 대한 재하중(P)의 비로써 표시되며 시료의 형태(shape) 및 크기(size)의 영향에 따라 시험 방법이 다르다(ISRM, 1985). 코아모양으로 얻어진 암석시료를 반경 방향에 재하할 때는 코아 직경을 D 로 표시하면, 강도는 다음과 같은 식에서 구할 수 있다(ISRM, 1985).

$$I_s = \frac{P}{D_e^2}$$

직경 방향 시험의 경우는 $D_e^2 = D^2$ 이고, 축 방향이나 블럭, 불규칙 암과 시험의 경우는 $D_e^2 = 4A/\pi$ 이며 여기서 A 는 양재하점을 포함하는 시료 단면 중에서 면적이 최소로 되는 면의 면적이며 $A = WD$ 로 된다.

본 연구에서 사용한 실험기기는 시료 직경크기 범위가 100mm까지 가능한 Model PLT-10(Structural Behavior Engineering Laboratories, Inc.)을 사용하여 직경방향의 시험과 축방향으로 시험하여 강도지수를 구하였다.

실험결과 및 고찰

암석의 중요한 물성으로 밀도, 함수율, 공극률 등을 구하고 탄성파 속도를 측정하였으며 점재하 시험에 의해 그의 강도지수를 구하였다. 이를 기본물성 사이의 상호관계, 탄성파속도와 기본물성 사이의 상호관계 및 점재하 강도지수와의 관계등을 통해 역학적

특성을 조사하여 보았다.

물성사이에 나타나는 일반적인 상관관계는 직선관계, 곡선관계, 및 Zone의 형태로 분류될 수 있다. 그러나 이론적으로 양호간 상관관계가 기대되는 몇 개의 탄성계수 상호간이나 특정한 물성간의 관계를 제외한 대부분의 경우는 Zone 형태를 보인다(Judd and Huber, 1961). 따라서 선택되는 물리적 특성치의 종류에 따라서 상관의 정도가 크게 달라지며 암종에 따라 큰 차이를 보인다(김영화, 홍순호, 1990).

밀도와 탄성파 속도와의 관계

사암과 세일에 대한 밀도와 탄성파 속도의 관계는 Fig. 3과 같다. 대체로 밀도 증가에 따라 P파 속도와 S파 속도는 증가하는 경향을 나타내며, 사암에서는 $V_p = 16300d - 38719.3$, $V_s = 11896.4d - 29225.1$ 과 세일에서는 $V_p = 4856d - 10264.8$, $V_s = 3519d - 7841.3$ 의 관계식을 산출하였다. 이들의 상관도는 사암이 0.8 내외로 비교적 높은 편이나 세일은 0.25내외로 분산이 심한 관계를 보이면서 사암의 밀도에 대한 P파 속도 및 S파 속도가 세일의 경우보다 뚜렷하게 증가하는 경향을 보이고 있다.

밀도의 평균값은 세일은 2.72, 사암은 2.68이며 세일의 밀도는 사암보다 높아도 속도는 사암보다 낮게 나타나는데 이는 퇴적암에 존재할 수 있는 층리에 의한 이방성의 영향으로 볼 수 있다. 본 연구에서는 이방성에 관한 연구를 별도로 하지 않았지만 일반적으로 이방성 암석은 층리의 수직방향에 대한 속도와 수평방향에 대한 속도가 다르며, Lama와 Vutukuri(1978)가 정리한 내용(Table 3)에 의하면 사암은 이방성이 없고 석회암은

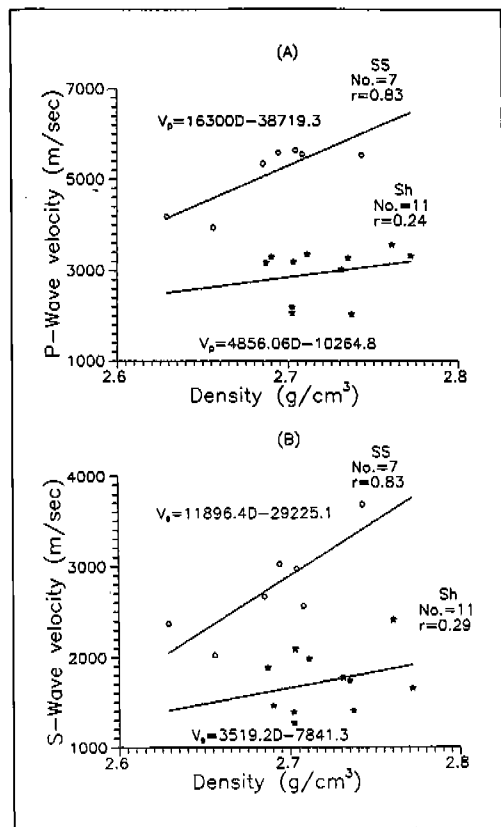


Fig. 3 The relationship between density and (A) P-wave velocity, (B) S-wave velocity in sandstone and shale. Solid lines represent regression lines of the data set. The regression equations are shown with their correlation coefficient(r).

1.08, 세일은 1.14로 이방성 지수가 발표된 바 있는데, 본 실험의 세일은 P파 속도 측정 방향에 수직으로 층리가 발달하여 속도에 불리한 영향을 미친 것으로 생각된다.

Fig. 4는 석회암의 밀도와 탄성파 속도의 관계이다. 밀도 증가에 따라 탄성파 속도의 증가는 사암이나 세일과 같이 크지는 않지만 점차 증가하는 경향이다. 밀도의 평균값은 2.84로 사암, 세일보다 높으며 시료의 수가 사암이나 세일보다 훨씬 많아 좀 더 뚜렷한

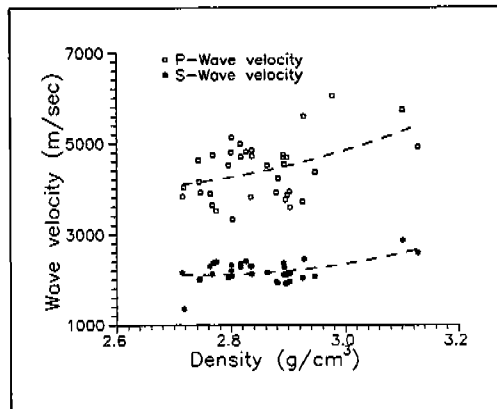


Fig. 4 The relationship between density and wave velocities for limestones. The relationships show curvilinear trends P-wave velocity (square), S-wave velocity(star).

경향을 나타낸다.

사암이나 세일과 다른 점은 밀도에 대한 탄성파 속도의 상관관계가 약간 분산이 있지만 직선보다는 곡선의 관계를 나타내는 경향을 보인다. 이들로부터 $V_p = 4085d^2 - 20747d + 303$, $V_s = 3899d^2 - 21442d + 318$ 의 산출식을 유도하였다. Rzhevsky와 Novik(1971)의 석회암에 대한 밀도와 P파 속도와의 연구 결과에서도 서로의 관계가 직선보다는 곡선의 증가 경향을 나타내며, 본 실험 대상의 석회암도 분산된 형태에서 곡선의 증가 경향을 보인다.

Lama와 Vutukuri(1978)는 일반적으로 탄성파 속도의 변화는 치밀하고 단단한 암석에서의 속도가 더 크며, 특히 석회암의 경우 P파 속도의 변화 범위가 2~6km/sec로 다양한데 이 변화는 석회암의 조직의 영향일 것으로 해석하였다.

암종에 따른 공극률과 P파 속도와의 관계

Table 3 Anisotropy coefficients for various rocks(Lama & Vutukuri, 1978).

Rock	*Anisotropy coefficient	Reference
Austin chalk	1.17	Tocher(1957)
Homogeneous anhydrite	1.16	Dunoyer de Segonzac and Laherrere(1959)
Anhydrite with intercalated limestones	1.12 to 1.14	Dunoyer de Segonzac and Laherrere(1959)
Limestone	1.08 to 1.10	Dunoyer de Segonzac and Laherrere(1959)
Arbuke limestone	1.30	Uhrig and Von Melle(1955)
Salt	no anisotropy	Dunoyer de Segonzac and Laherrere(1959)
Sandstone	no anisotropy	Dunoyer de Segonzac and Laherrere(1959)
Eagle Ford shale	1.33	Uhrig Von Melle(1955)
Pierre shale(Limon, colo.)	1.18	Uhrig Von Melle(1955)
Pierre shale (Last chance, Colo.)	1.14	Uhrig Von Melle(1955)
Combridge slate	1.07	Tocher(1957)
Lorraine shale	1.40	Tocher(1957)
Gneiss, Hell Gate, N. Y.	1.20	Birch(1960)
Micaschist, woodsville, Vt.	1.36	Birch(1960)
Granodiorite gneiss, Bethlehem, N. H.	1.33	Birch(1960)
Gneiss, Pelham, Mass.	1.27	Birch(1960)

* The coefficient of anisotropy may be defined as the ratio of the velocity along the layers to the velocity perpendicular to the layers.

세일, 사암 및 석회암에 대한 공극률과 P파 속도의 관계에서는 대체로 공극률이 증가함에 따라 P파의 속도는 감소하는 경향이다(Fig. 5). 중량의 측정으로 계산된 공극률의 값은 석회암에서는 0.15–0.68%이고, 사암은 0.19–1.36%, 세일은 0.74–1.34%의 범위에 있다. 석회암과 세일의 경우 분산의 형태가 띠모양의 분포를 보이나 사암은 직선의 경향을 보인다.

공극률이 높은 세일에서는 역시 P파 속도의 범위가 낮게 나타났다. 본 실험에서도 석회암의 공극률에 대한 P파 속도의 변화가 사암이나 세일보다 크게 나타났다. 또한 석회암의 공극률과 함수비 관계는 Fig. 6과 같이 서로 비례하여 $W=0.14p+0.02$ 의 경향을 보이고 상관도는 $r=0.87$ 로 비교적 양호하다. 사암과 세일의 함수율과 p파 속도의 비교에서 함수율의 증가에 따라 P파의 속도는 감소하는

- Lachenbruch, A.H.(1961) : Depth and spacing of tension cracks : J. of Geophy. Res., v.66, 4273–4292.
- Lachenbruch, A.H.(1962) : Mechanics of thermal contraction cracks and ice-wedge polygons in permafrost : Geol. Soc. Am. Sp. paper 70, 1–69.
- LaPointe, P.R.(1980) : Analysis of the Spatial Variation in Rock Mass Properties Through Geostatics. Proc. 21st U.S. Symp. on Rock Mechanics.
- Lawn, B.R. & Wilshaw, T.R.(1975) : "Fracture of Brittle Solids". Cambridge Univ. Press, Cambridge, 204p.
- Leith, C. K.(1913). "Structural Geology". Hlt, New York.
- Liebowitz, H.(ed.)(1968) : "Fracture : An Advanced Treatise". Vol.1–7, Academic Press, New York.
- Long,J.C.S. & Witherspoon, P.A.(1985) : The relationship of the degree of interconnection to permeability in fractured network, J. Geophy. Res., Vol.90, 3087–3098.
- McGee, W.J.(1883) : Note on jointed structure : Am. J. of Sci., v.125, 152–153.
- Mohr, O.(1900) : Welche Umstände bedingen die elastizitätsgrenze und den bruch eines materials : Zeitschrift des Vereines Deutscher Ingenieure, v.44, 1524.
- Moreno, L. & Neretnieks, I.(1991) : "Fluid and solute transport in a network of channels", SKB TR 91–44, SKB, Stockholm.
- Nickelsen, R.P. & Hough, V.D.(1967) : Jointing in the Appalachian Plateau of Pennsylvania : Bull. Geol. Soc. Am. v.78, 609–629.
- Nickelson, R.P. & Hough, V.N.D.(1969) : Jointing in south-central New York : Reply, Bull. Geol. Soc. Am. v.80, 923–926.
- OECD(1993) : OECD/NEA INTERNATIONAL STRIPA PROJECT, OVERVIEW VOLUME 2, NATURAL BARRIERS, Paul Gnirk.
- Olsson, O., Black, J.H. & Gale, J.(1989) : "Site characterization and validation Stage 2–Preliminary predictions", Stripa Proj. TR 89 –03, SKB, Stockholm.
- Peck, D.L. & Minakami, T.(1968) : The formation of columnar joints in the upper part of Kilauean lava lakes, Hawaii : Geol. Soc. Am. Bull., v.79, 1151–1166.
- Pollard, D.D., Segall, P. & Delany, P.T.(1982) : Geol. Soc. Am. Bull. 93, 1291–1303.
- Pollard, D.D. & Segall, P.(1987) : Theoretical displacements and stresses near fractures in rock, with applications of faults, joints, veins, dykes and solution surfaces, in Atkinson, B. K., ed., Fracture mechanics of rock : London, England, Academic Press, 277–349.
- Price, N.J.(1965). "Fault and Joint Development in Brittle and Semi-brittle Rock". Pergamon, Oxford, 176pp.
- Price, N.J.(1974), The Development of Stress Systems and Fracture Patterns in Undeformed Sediments, Pro. 3rd Cong. Rock Mech., Vol.1A, p487–496.
- Ramsay, J.G. & Huber, M.L.(1987) : The techniques of modern structural geology, vol. 2 : London, England, Academic Press, 700p.
- Roberds, W.(1979) : Numerical Modeling of Rock Joints. Sc. D. Thesis, M.I.T.
- Rummel, F.(1987) : Fracture mechanics approach to hydraulic fracturing stress measurements, by Atkinson, B.K., ed., Fracture mechanics of rock : London, England, Academic Press, 217–239.
- Ryan, M. & Sammis, C.G.(1978) : Geol. Soc. Am. Bull. 89, 1295–1308.
- Secor, D.T.(1965) : Am. J. Sci. 263, 633–646.
- Secor, D.T.(1969) : Proc. Conf. Res. Tectonics, Geol. Surv. Canada 68–52, 3–48.
- Segall, P. and Pollard, D.D.(1983a) : Nucleation and growth of strike-slip faults in granite : J. Geophy. Res., v.88, 555–568.
- Segall, P. and Pollard, D.D.(1983b) : Joint formation in granitic rock of the Sierra Nevada, Geol. Soc. of America Bull., v.94, p563–575.
- Scheidegger, A. E.(1982) : Comment on "Is there a genetic relationship between selected regional joints and contemporary stress within the lithosphere of North America?" :

- Tectonics 1, 465.
- Sheldon, P.(1912a) : Some observations and experiments on joint planes, 1 : J. Geology, v.20, 53-79.
- Sheldon, P.(1912b) : Some observations and experiments on joint planes, 2 : J. Geology, v.20, 164-183.
- Snow, D.T.(1965) : A Parallel Plate Model of Fractured Permeable Media. Ph.D. Dissertation, Univ. of California, Berkeley.
- Snow, D.T.(1968) : Anisotropic Permeability of Fractured Rocks. In : R.J.M. DeWiest(ed.), Hydrology and Flow Through Porous Media, Academic Press, New York.
- Toth, J.(1963), A theoretical analysis of groundwater flow in small drainage basins in central Alberta. J. Geophys. Res., 68, pp.4795-4812.
- Toth, J.(1968) : A hydrogeological study of the Three Hills area, Alberta. Research council of Alberta. Geol. Div., Bull. 24.
-
- 배대석
한국원자력연구소 부설원자력환경관리센터
대전시 유성구 덕진동 150번지,
TEL : 042) 868-2030
FAX : 042) 861-2468
- 송무영
충남대학교 자연과학대학 지질학과
대전시 유성구 궁동 220번지, 305-764
TEL : 042) 821-6423
FAX : 042) 822-9690